

ФОРМИРОВАНИЕ ЭНЕРГЕТИЧЕСКОГО СПЕКТРА МОНОЛИНИИ РЕНТГЕНОВСКОГО ИЗЛУЧЕНИЯ ПРИ НЕОДНОРОДНОМ ПОГЛОЩЕНИИ В ПОЛУПРОВОДНИКОВЫХ ДЕТЕКТОРАХ

О. И. Иваницкая, О. А. Матвеев, А. А. Томасов, Н. В. Яковлев

Физико-технический институт им. А. Ф. Иоффе Российской академии наук,
194021, Санкт-Петербург, Россия

(Получена 22 марта 1993 г. Принята к печати 4 июня 1993 г.)

Показано, что в случае неоднородного поглощения ($kd \sim 1 \div 30$) моноэнергетического излучения при отсутствии в детекторе микро- и макронародностей возможно сильное искажение вплоть до появления двух максимумов энергетического спектра, особенно при близких значениях длин пробега электронов и дырок при малых и средних эффективностях сортирования заряда 25—90%. Получено аналитическое выражение и даны качественные критерии для нахождения областей параметров детектора, ответственных за искажение спектра. Объяснены причины такого искажения энергетического спектра.

Одним из способов объяснения причин уширения экспериментальных моноэнергетических линий амплитудных спектров в полупроводниковых детекторах ядерного излучения является сравнение с расчетными спектрами, которые получаются на базе моделей, предложенных в работах [1—3] и основанных на численном решении интегрального уравнения при различных зависимостях эффективности сортирования носителей заряда от точки их генерации [1—8, 9] или на методе Монте-Карло [10—12]. Уширение линий по сравнению с расчетными и тем более сильная деформация спектра в однородных кристаллах вплоть до появления дополнительных пиков часто объясняется неоднородностями (вплоть до макро-неоднородностей) полупроводникового кристалла.

Этой проблеме посвящено большое число работ, рассматривающих разные типы детекторов, приготовленных на основе различных полупроводниковых кристаллов. Изучалось формирование спектра при однородном [1—8, 10, 12—18] и неоднородном [3, 5, 8, 10—13, 15—19] поглощении гамма-квантов в детекторе, а также в случаях высокой [1, 2, 4, 6, 7, 13] и низкой [3, 5, 8, 10—12, 14—22] эффективности сортирования носителей заряда одного или обоих типов при отсутствии и наличии [5, 7, 8, 13, 19] в кристаллах неоднородностей различного типа как для детекторов на основе Si, Ge [1, 2, 4, 9, 13], так и на основе CdTe [3, 5, 7, 9, 12, 14, 15, 18, 21], HgI₂ [8, 11] и других материалов [10, 17, 20—22].

Аналитические выражения, позволяющие рассчитать энергетическое разрешение детекторов по электрофизическим характеристикам кристаллов, получены лишь для случая однородной генерации электронно-дырочных пар при высокой [4] и любой [8] эффективности сортирования заряда в электрофизически однородных кристаллах. В большинстве остальных работ приводятся рекомендации по улучшению энергетического разрешения детекторов. При этом даются традиционные рекомендации увеличить эффективность сортирования одного или двух типов носителей заряда для детекторов на основе Si и Ge [1, 2, 4], CdTe и HgI₂ [3, 5, 7, 8, 14, 16, 18, 21] и на основе других материалов [10, 17, 20—22]. Рассматривается также

роль неоднородностей электрофизических характеристик кристаллов [5, 8, 13, 19]; показано, что сильно дислокационные и неоднородные кристаллы [8, 19] могут приводить к сложному искажению монолинии вплоть до появления спектра с двумя или даже несколькими пиками. Сложные спектры с признаками «двуторбости» были рассчитаны [3, 12] для детекторов с омическими контактами, т. е. с однородным электрическим полем. Однако не было дано объяснения этих особенностей спектров.

Таким образом, видно, что для наиболее распространенного на практике случая неоднородного поглощения квантов при средней и низкой эффективности сопирания заряда в детекторе отсутствуют простые аналитические критерии, позволяющие оценить требуемое качество материала для детекторов, что необходимо для совершенствования широко используемых кристаллов CdTe и HgI₂ и новых перспективных материалов [10, 17, 21, 22].

Поэтому настоящая работа посвящена изучению формирования энергетического спектра при неоднородной генерации электронно-дырочных пар вдоль направления электрического поля в детекторе. В этом случае вид функций плотности поглощения и сопирания заряда определяет уширение энергетического спектра, а при определенных параметрах этих функций, как будет показано ниже, даже в детекторе из однородного материала приводит к сильной деформации энергетического спектра вплоть до появления двуторбости.

Для выяснения вида спектральной линии при неоднородном поглощении рентгеновских квантов было использовано известное выражение [1] для численного расчета энергетического спектра в случае плоской геометрии

$$\frac{dN(E)}{dE} = \int_0^d \frac{ke^{-kx}}{\sqrt{2\pi}\sigma_{\Sigma}(x)(1-e^{-k\phi})} \exp\left(\frac{-|E - E_{\gamma 0}\eta(x)|^2}{2\sigma_{\Sigma}^2(x)}\right) dx, \quad (1)$$

где k — коэффициент поглощения рентгеновского излучения, d — расстояние между электродами, $E_{\gamma 0}$ — энергия падающего излучения, $\eta(x)$ — функция Хекта. В случае плоской геометрии и в отсутствие вторичного выброса носителей заряда при длинах пробега фотоэлектронов, значительно меньших d , и при неучете первоначальных потерь в треке фотоэлектронов [1–8, 18–20] она имеет вид [1–4, 6]

$$\eta(x) = \frac{\lambda_e}{d} \left(1 - e^{-\frac{d-x}{\lambda_e}}\right) + \frac{\lambda_h}{d} \left(1 - e^{-\frac{x}{\lambda_h}}\right), \quad (2)$$

где $\lambda_e = \mu_e \tau_e \varepsilon$, $\lambda_h = \mu_h \tau_h \varepsilon$ — длины пробега электронов и дырок соответственно, μ_e , μ_h , τ_e , τ_h — подвижности и время до захвата электронов и дырок соответственно; $\varepsilon = V/d$ — напряженность электрического поля в детекторе, V — величина приложенного напряжения смещения. Среднеквадратическое отклонение собранного заряда в случае независимости компонент шумов имеет вид $\sigma_{\Sigma}^2(x) = \sigma_{st}^2 + \sigma_{cl}^2 + \sigma_{col}^2(x)$ [1, 2, 4, 8] и обусловлено флюктуацией образования электронно-дырочных пар $\sigma_{st} = \sqrt{F\varepsilon_n E_{\gamma 0}}$ [23] (F — фактор Фано), токовыми и емкостными шумами электроники σ_{cl} и неполным сопиранием носителей заряда в зависимости от точки генерации $\sigma_{col}(x)$. Выражение $\sigma_{col}(x)$ для любой величины сопирания заряда имеет вид [24]

$$\sigma_{col}(x) = \sqrt{E_{\gamma 0}\varepsilon_n \eta(x)(1 - \eta(x))}, \quad (3)$$

где ε_n — средняя энергия образования электронно-дырочной пары.

На рис. 1 приведены расчетные спектры согласно выражению (1) для монолинии изотопа Am²⁴¹ ($E_{\gamma 0} = 59.57$ кэВ, $k = 40$ см⁻¹, шумы электроники $\Delta E_e = 1.0$ кэВ) для CdTe детектора на основе однородного кристалла при различных соотношениях величин λ_e/λ_h . При этом использовано значение $\lambda_e/d = 2$, соответ-

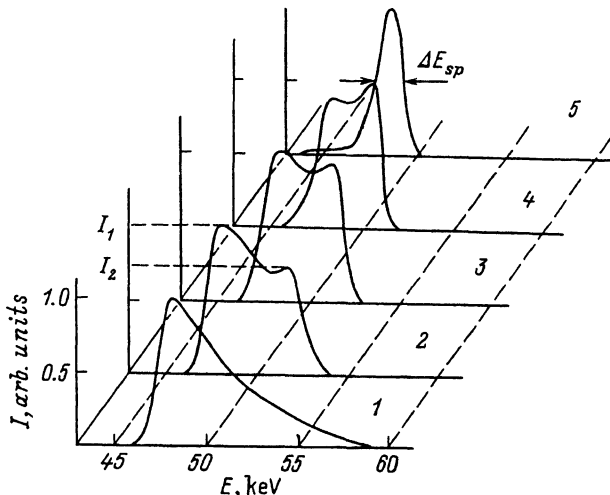


Рис. 1. Вид амплитудного спектра при различных отношениях длин пробега электронов и дырок λ_e/λ_d для монолинии изотопа Am²⁴¹ при $\lambda_d/d = 2$, $kd = 6$, $\Delta E_{el} = 1$ кэВ. λ_e/λ_d : 1 – 0.1, 2 – 1.2, 3 – 1.6, 4 – 2.2, 5 – 5.0. ΔE_{sp} – энергетическое разрешение детектора, I_1 , I_2 – значения максимумов амплитудного спектра.

ствующее $\eta(x) \approx 80\%$, и величина $kd = 6$, соответствующая $d = 1.5$ мм. Эти параметры часто встречаются для детекторов на основе CdTe, HgI₂ и других новых материалов [10, 17, 20, 21].

Из рис. 1 видно, что утверждавшееся стремление увеличить и приблизить друг к другу значения λ_e и λ_d с целью улучшения энергетического разрешения [3, 7, 10, 14, 16, 18, 21, 22] не всегда оправдано и может привести даже к обратному, т. е. к увеличению ΔE_{sp} – ширины линии, а иногда и к раздвоению монолинии. Такая аномальность наиболее вероятна для детекторов со средними (~ 25 –90%) значениями эффективности сортирования заряда и необоснованно объяснялась ранее только неоднородностями материала детектора.

Для установления критериев уширения спектральной линии рассмотрим подробнее причины возникновения сложного вида спектра при регистрацииmono-энергетического излучения, сильно поглощающегося в детекторе.

Очевидно, что скорость счета I в амплитудном спектре в интервале энергий ΔE при энергии E в первом приближении пропорциональна произведению величины плотности поглощения квантов e^{-kx} на длину участка Δx , эффективность сортирования заряда $E_{\gamma 0} \cdot \eta(x)$ с которого соответствует энергии E (рис. 2).

$$I \sim e^{-kx_1} \Delta x_1 + e^{-kx_2} \Delta x_2. \quad (4)$$

Для случая неоднородного поглощения квантов вторым членом в выражении (4) можно пренебречь, тогда

$$I \sim e^{-kx_1} \Delta x_1. \quad (5)$$

Из анализа вида функций e^{-kx} , $\eta(x)$ и $\eta'(x)$, так как

$$\Delta x \sim \frac{\Delta E}{E_{\gamma 0} \eta'(x)}, \quad (6)$$

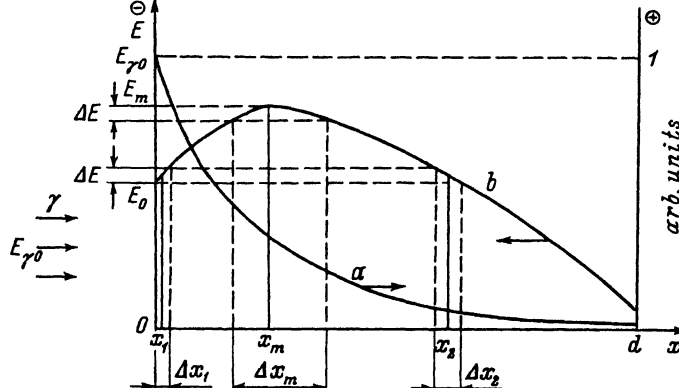


Рис. 2. Схематическое изображение детектора толщиной d с однородным электрическим полем и неоднородно поглощаемым потоком квантов с энергией $E_{\gamma 0}$, совмещенное с кривыми: a — поглощения γ -квантов в детекторе и b — эффективности сортировки носителей заряда.

следует, что ответственными за особенности, и в том числе максимумы в амплитудном спектре, могут являться точки вблизи $x = 0$ и $x = x_m$ (где x_m — координата максимума функции $\eta(x)$), которые соответствуют энергиям $E(0) = E_{\gamma 0}\eta(0)$ и $E(x_m) = E_{\gamma 0}\eta(x_m)$.

Так как функции $\eta(x)$ и $\eta'(x)$ в общем случае не имеют аналитического решения, для нахождения связи между Δx и ΔE разложим в ряд Тейлора функцию $\eta(x)$ и решим, ограничиваясь первыми ненулевыми членами, следующее уравнение:

$$E_{\gamma 0}\eta(x) + \Delta E = E_{\gamma 0}\eta(x) + E_{\gamma 0}\eta'(x)\Delta x + \frac{1}{2}E_{\gamma 0}\eta''(x)\Delta x^2 + \dots \quad (7)$$

Определив Δx_0 и Δx_m и подставив в экспоненту выражения (5) $\Delta x_0/2$ и x_m , а в $\eta(x)$ — значения $x=0$ и $x=x_m$, получаем, согласно (5)–(7), отношение скорости счета при $E(x_m)$ и $E(0)$ в виде

$$\frac{I(x_m)}{I(x_0)} = 2\sqrt{2} \exp \left[\frac{kd}{\left(\frac{\lambda_e}{\lambda_b} + 1\right)} + \frac{kd\Delta E_\Sigma}{2E_{\gamma 0}(1 - e^{-\frac{d}{\lambda_e}})} + \frac{d}{2\lambda_e} \frac{1}{\left(\frac{\lambda_b}{\lambda_e} + 1\right)} \right] \times \\ \times \sqrt{\frac{E_{\gamma 0}\lambda_e(1 - e^{-\frac{d}{\lambda_e}})^2}{\Delta E_\Sigma d \left(\frac{\lambda_e}{\lambda_b} + 1\right) \cdot d}} \quad (8)$$

При выводе приближенного выражения (8), полученного для нахождения областей возможного существования спектра с двумя максимумами, значение ΔE было выбрано равным $\Delta E_\Sigma = 2.35\sigma_\Sigma(x)$ при подстановке в выражение (3) значения $\eta = (\eta(0) + \eta(x_m))/2$. Это, как будет показано ниже, хорошо соответствует значениям плотностей распределения спектров, полученных по полному выражению (1), в области значений $I(x_m)/I(x_0)$ вблизи единицы.

Из условий вывода выражения (8) ясно, что энергетические спектры с двумя максимумами должны появляться при значениях $I(x_m)/I(x_0) \sim 1$. Однако существенное искажение спектра будет наблюдаться в более широкой области значений $I(x_m)/I(x_0)$ в диапазоне $0.5 \div 2$.

Использование значений $\Delta x_0/2$ и x_m в выражении (5) для определения количества актов поглощения квантов вместо усреднения по интервалам Δx_0 и Δx_m приводит к ошибке в значениях $I(x_m)$ и $I(x_0)$ не более $\sim 100\%$ даже при $k\Delta x \approx 4$ и $\sim 15\%$ при $k\Delta x \approx 2$. Ошибка же в значении $I(x_m)/I(x_0)$ будет значительно меньше и в случае $\Delta x_0 = \Delta x_m$ вообще будет равна нулю. Это соответствует, например, $\Delta x \approx 1$ мм ($CdTe$, $k = 40^{-1}$, $E_{\gamma 0} = 60$ кэВ) и справедливо во многих практических случаях. При больших значениях k появляются другие ограничения. Таким образом, использование приближенного выражения вполне оправдано.

Ясно, что для образования спектров с двумя максимумами должно выполняться следующее условие:

$$0.1 \leq e^{-kx_m} \leq 0.9, \quad (9)$$

приводящее к

$$0.1 \left(\frac{\lambda_e}{\lambda_h} + 1 \right) \leq kd \leq 2.3 \left(\frac{\lambda_e}{\lambda_h} + 1 \right). \quad (10)$$

Следующим необходимым условием существования спектра с двумя максимумами является $\Delta x_0 \leq \Delta x_m$ (рис. 2), означающее, что области Δx_0 и Δx_m , где формируются максимумы $E(x_0)$ и $E(x_m)$, перекрываются не более чем наполовину, и приводящее к условию

$$\frac{\Delta E_\Sigma}{E_{\gamma 0}} \leq \frac{1 - e^{-\frac{d}{\lambda_e}}}{\frac{\lambda_e}{\lambda_h} + 1}. \quad (11)$$

Также естественным необходимым условием существования двух максимумов является

$$\Delta E_\Sigma \leq E(x_m) - E(0), \quad (12)$$

приводящее к

$$\frac{\Delta E_\Sigma}{E_{\gamma 0}} \leq \frac{\lambda_e}{d} \left[\left(1 - e^{-\frac{d}{\lambda_e} \frac{1}{\frac{\lambda_h}{\lambda_e} + 1}} \right) \left(\frac{\lambda_h}{\lambda_e} + 1 \right) - \left(1 - e^{-\frac{d}{\lambda_e}} \right) \right]. \quad (13)$$

В таблице приведены максимальные значения ΔE_Σ [полученные из выражения (13)], при которых могут наблюдаться спектры с двумя максимумами при различных значениях λ_e/d и λ_e/λ_h для линии 60 кэВ. Из таблицы следует, что, например, для $\lambda_e/d \approx 1$ величина ΔE_Σ должна быть меньше 9, 4, 3, 1.5 кэВ при λ_e/λ_h , равных 1, 3, 5, 10 соответственно.

Максимальные значения суммарных шумов (ΔE_Σ), выше которых на энергетическом спектре не будут проявляться два максимума

λ_e/λ_h	λ_e/d						
	0.1	0.25	0.5	1	2	4	10
1	5.92	11.13	11.99	9.29	5.83	3.34	1.43
3	1.98	4.21	5.1	4.25	2.78	1.66	0.7
5	1.2	2.61	3.26	2.78	1.84	1.11	0.47
10	0.6	1.33	1.7	1.48	0.99	0.63	0.26

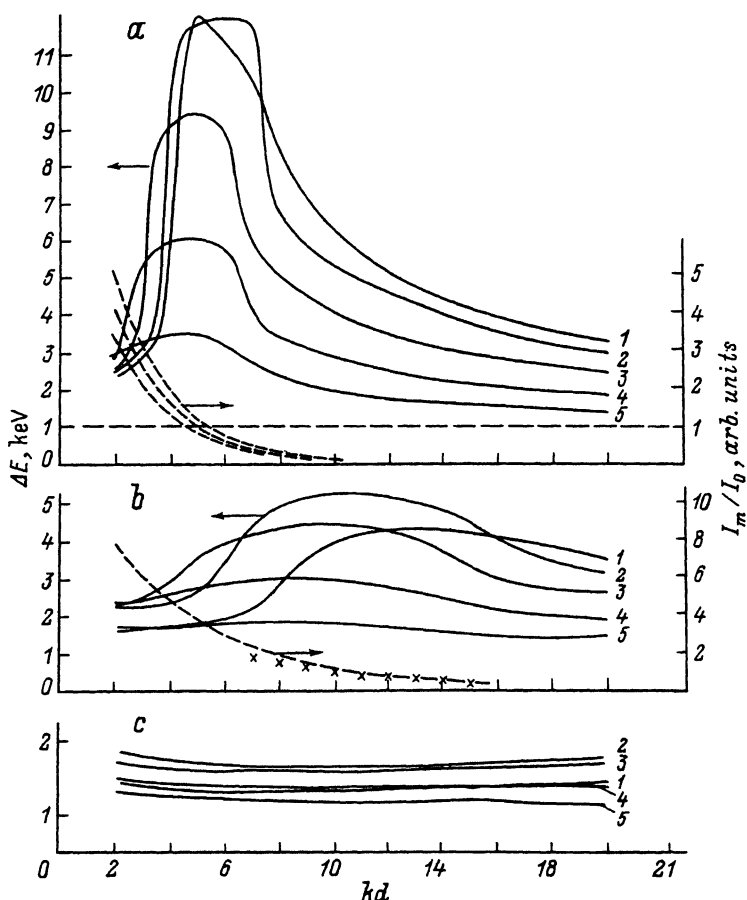


Рис. 3. Зависимость энергетического разрешения ΔE_{sp} от параметра kd для λ_c/λ_h 1 (a), 3 (b), 10 (c); $E_{\gamma 0} \approx 60$ кэВ, $\Delta E_{el} = 1$ кэВ. λ_c/d : 1 — 0.25, 2 — 0.5, 3 — 1.0, 4 — 2.0, 5 — 4.0, что соответствует η (0) 25, 43, 63, 78, 88% соответственно. Штриховые кривые — зависимость $I(x_m)/I(x_0)$ от kd для соответствующих сплошных кривых, крестики — проверочные точки для кривой 2', полученные из отношения максимумов I_2/I_1 расчетных спектров.

Из анализа выражения (8) следует, что спектры с двумя максимумами не должны появляться как при больших значениях ΔE_{Σ} , так и при стремлении ΔE_{Σ} к нулю. Второе утверждение не столь очевидно и может быть качественно объяснено следующим образом. При стремлении ΔE_{Σ} к нулю экспоненциальный член в выражении (5) будет стремиться к постоянной величине, и значение Δx устремится к нулю. В то же время значение $(\Delta x_m/\Delta x) \sim (\sqrt{\Delta E_{\Sigma}})^{-1} \rightarrow \infty$, что способствует появлению максимума при $E(x_m)$. В отличие от случая больших ΔE_{Σ} эти спектры могут довольно сильно отличаться от гауссовых и в основном определяются видом функции $\eta(x)$. Нижней границей значения ΔE_{Σ} является сумма шумов, связанных с флюктуациями сортировки и генерации носителей заряда $\Delta E_d = \sqrt{\Delta E_{col}^2 + \Delta E_{st}^2} = 2.35 \cdot \sqrt{\sigma_{col}^2(x) + \sigma_{st}^2}$, и для энергии $E_{\gamma 0} = 60$ кэВ соответствует $\sim 0.4 \div 0.7$ кэВ в зависимости от значения $\eta(x)$. С учетом шумов электроники, сравнимых с ΔE_d , нижней границей для ΔE_{Σ} является величина $\sim 0.5 \div 1.0$ кэВ.

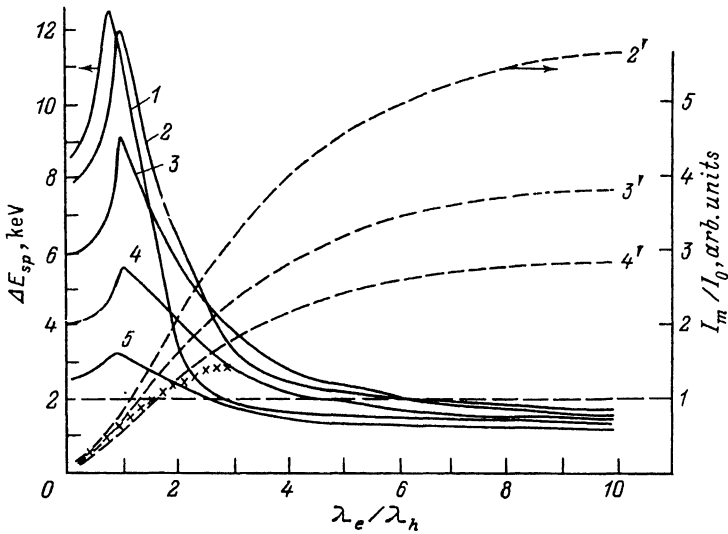


Рис. 4. Зависимость энергетического разрешения ΔE_{sp} от параметра λ_e/λ_h для $kd = 6$, $E_{y0} \approx 60$ кэВ, $\Delta E_{el} = 1$ кэВ. λ_e/d : 1 — 0.25, 2 — 0.5, 3 — 1.0, 4 — 2.0, 5 — 4.0. Штриховая кривая — зависимость $I(x_m)/I(x_0)$ от λ_e/λ_h для соответствующих сплошных кривых, крестики — проверочные точки для кривой 4', полученные из отношения максимумов I_2/I_1 расчетных спектров.

Проведенные расчеты энергетического разрешения и отношения интенсивностей пиков в спектре для самых разных параметров сортировки заряда и поглощения излучения в детекторе сведены в графики.

На рис. 3 приведены: зависимость энергетического разрешения ΔE_{sp} детектора, полученная на основе расчета общего выражения (1) при различных λ_e/λ_h и λ_e/d ; зависимость отношения $I(x_m)/I(x_0)$, согласно выражению (8), для разных λ_e/λ_h и λ_e/d ; а также зависимость отношения максимумов в расчетных спектрах I_2/I_1 от параметра kd ($E_{y0} = 59.57$ кэВ, $k = 40$ см $^{-1}$).

На рис. 4 представлены зависимости ΔE_{sp} , $I(x_m)/I(x_0)$ и I_2/I_1 для различных λ_e/d от параметра λ_e/λ_h при $kd = 6$.

На рис. 3, 4 видно хорошее совпадение значений $I(x_m)/I(x_0)$, пропорциональных отношениям площадей под максимумами (рис. 3, б, кривая 2' и рис. 4, кривая 4') и значений отношений амплитуд максимумов I_2/I_1 (рис. 3, б и рис. 4, крестики), что подтверждает корректность приближений, сделанных при выводе выражения (8). Так, для спектров, изображенных на рис. 1, значения $I(x_m)/I(x_0)$ и I_2/I_1 составляют 0.65 и 0.72, 0.93 и 0.93, 1.13 и 1.32 соответственно для λ_e/λ_h 1.2, 1.6, 2.2. Из рис. 1, 3, 4 видно, что эти значения особенно близки в случае примерно одинаковых амплитуд обоих максимумов, т. е. при $I(x_m)/I(x_0) \sim 1$.

На рис. 3, 4 видна хорошая корреляция между значениями kd , λ_e/λ_h в области $I(x_m)/I(x_0) \sim 1$ и максимумами значений ΔE_{sp} при различных величинах λ_e/d . Слабую зависимость и отсутствие максимума значений ΔE_{sp} при $\lambda_e/\lambda_h = 10$ в диапазоне kd 2—20 можно объяснить следующим образом. При больших значениях kd (~ 20) величина $I(x_m)/I(x_0)$ незначительно отличается от единицы и равна 1.1, 1.3, 1.8 для λ_e/d 2.0, 1.0, 0.5 соответственно, но при $\lambda_e/d = 2.0$ не выполняется условие (13) (см. таблицу). Для λ_e/d , равного 1.0 и особенно 0.5, приближенное условие (13) выполняется, однако форма спектральной линии искажена незначительно и значение ΔE_{sp} ($\lambda_e/d = 1.0$), рассчитанное согласно (1), равно 1.73 кэВ при $kd = 24$ ($I(x_m)/I(x_0) = 1$) и слабо отличается от минимального $\Delta E_{sp} = 1.6$ кэВ, что связано со значением kd , близким к граничному, сог-

ласно условию (10). При $\lambda_e/d = 0.5$ величина kd возрастает и равна 28, что приводит к еще большему нарушению условия (10).

При уменьшении значения ΔE_Σ происходит дальнейшее смещение по оси абсцисс точки $I(x_m)/I(x_0) = 1$ и еще большее нарушение условия (10). Существующая слабая зависимость ΔE_{sp} от kd при $\lambda_e/\lambda_h = 10$ обусловлена эффектами второго порядка малости, не рассматриваемыми в данной работе.

Таким образом, для нахождения параметров детекторов, приводящих к существенному ухудшению энергетического разрешения, необходимо, используя рис. 3, 4 или выражение (8), найти значения kd и λ_e/λ_h , где величина $I(x_m)/I(x_0) \sim 0.5 \div 2$, и проверить выполнение условий (10), (11), (13). Например, для энергии 60 кэВ при $kd = 6$ опасной, с этой точки зрения, является область значений $\lambda_e/\lambda_h 0.5 \div 5$ (рис. 4) при $\eta(0) \leq 90\%$.

На рис. 3 четко видно, что в зависимости от параметров детектора могут существовать области значений kd , приводящие к ухудшению энергетического разрешения.

Из данных, приведенных на рис. 3, 4, следует, что существует вполне понятная общая тенденция улучшения энергетического разрешения детектора в абсолютных величинах с ростом величины λ_e/d при $\lambda_e/d \geq 0.25$. Некоторые отклонения от этой тенденции (рис. 3, a, кривые 1, 2 и рис. 4, кривые 1-3) вполне объяснимы.

Однако наиболее интересным выводом из данных, приведенных на рис. 3 и особенно на рис. 4, является тот, что (вопреки частым рекомендациям [3, 5, 7, 8, 10, 14, 16-18, 20-22]) абсолютное значение энергетического разрешения детектора может значительно ухудшиться при приближении λ_h к λ_e , особенно при средних эффективностях сортирования заряда ($\eta(0) \approx 25 \div 90\%$). Так, при $kd = 6$ и $\lambda_e/d = 2$ $\Delta E_{sp} = 5.5$ и 1.5 кэВ для $\lambda_h/\lambda_e = 1$ и 10 соответственно (рис. 4).

Отметим, что на рис. 3, 4 значения ΔE_{sp} для наглядности приведены в абсолютных значениях для часто используемой монолинии $E_{\gamma 0} = 59.57$ кэВ (Ам²⁴¹). Эти графики могут быть использованы [см. выражение (1)] для любой энергии E_γ при домножении значения ΔE_{sp} на коэффициент $E_\gamma/E_{\gamma 0}$ и при значениях $\Delta E_{el}/E_\gamma = 1/60$ (использовалось в данном расчете) для $\Delta E_{el} \gtrsim \sqrt{\Delta E_{col}^2 + \Delta E_{st}^2}$.

Таким образом, в работе получено аналитическое выражение и установлены критерии для нахождения параметров детекторов, ухудшающих энергетический спектр; рассмотрены причины появления при регистрации моноэнергетического излучения сильной деформации энергетического спектра вплоть до образования двух максимумов и показано, что при приближении значений λ_h к λ_e возможно значительное ухудшение энергетического разрешения детектора. Эти процессы обусловлены неоднородным поглощением излучения в детекторе и никак не связаны с наличием микро- и макронеоднородностей в кристалле.

Результаты работы позволяют объяснить причины появления ранее непонятных сложных энергетических спектров и дают конкретные рекомендации по выбору параметров детекторов, изготавляемых из различных материалов, с целью оптимизации амплитудного разрешения для необходимого диапазона энергии квантов.

СПИСОК ЛИТЕРАТУРЫ

- [1] R. Trammel, J. F. Walter. Nucl. Instr. Meth., 76, 317 (1969).
- [2] T. A. Mc Math, Martini. Nucl. Instr. Meth., 86, 245 (1970).
- [3] R. O. Bell. Nucl. Instr. Meth., 93, 341 (1971).
- [4] H. R. Zulliger, L. M. Middleman, D. W. Aitken. IEEE Trans., NS-16, 46 (1969).
- [5] T. Shoji, T. Taguchi, Y. Hiratake, Y. Inuiishi. IEEE Trans. NS-26, 316 (1979).
- [6] J. Iwahczyk, A. J. Dabrowski. Nucl. Instr. Meth., 134, 505 (1976).
- [7] E. Frederick, A. Clapp, G. Entine, T. Harlett, J. S. Lund, F. Sinclair, M. R. Squillante. IEEE Trans. NS-34, 354 (1987).

- [8] J. S. Iwanczyk, W. F. Schnepple, M. J. Masterson. Nucl. Instr. Meth. A, 322, 421 (1992).
- [9] А. А. Томасов, О. А. Матвеев, П. Г. Кашериников. ФТП, 15, 2097 (1981).
- [10] W. Bencivelli, E. Bertolucci, V. Bottigli, A. Del Guerra, A. Messineo, W. R. Nelson, P. Randaccio, V. Rosso, P. Russo, A. Stefanin. Nucl. Instr. Meth. A, 310, 210 (1991).
- [11] M. Conti, A. Del Guerra, D. Mazzeti, P. Russo, W. Bencivelli, E. Bertolucci, A. Messineo, V. Rosso, A. Stefanin, V. Bottigli, P. Randaccio, W. R. Nelson. Nucl. Instr. Meth. A, 322, 591 (1992).
- [12] C. Manfredotti, R. Marchiso, V. Nastasi. Nucl. Instr. Meth. A, 322, 331 (1992).
- [13] В. К. Еремин, Н. Б. Строкан, Н. И. Тиснек. ФТП, 9, 530 (1975).
- [14] Л. А. Алексеева, П. Г. Дорогов, В. Н. Иванов, А. Х. Кусаинов. ПТЭ, № 1, 54 (1985).
- [15] E. Raiskin, J. F. Butler. IEEE Trans., NS-35, N 1, 81 (1988).
- [16] M. Richter, P. Siffert. Nucl. Instr. Meth. A, 322, 529 (1992).
- [17] F. Olschner, K. S. Shah, J. C. Lund, J. Zhang, K. Daley, S. Medrick, M. R. Squillante. Nucl. Instr. Meth. A, 322, 504 (1992).
- [18] A. Kn. Khusainov. Nucl. Instr. Meth. A, 322, 335 (1992).
- [19] P. T. Randtke, C. Ortale. IEEE Trans., NS-24, 129 (1977).
- [20] F. Nava, C. Canali, M. Artuso, E. Gatti, F. Manfredi, S. F. Kozlov. IEEE Trans., NS-26, 309 (1979).
- [21] M. Roth. Nucl. Instr. Meth. A, 283, 291 (1989).
- [22] B. Equer. Nucl. Instr. Meth. A, 322, 457 (1992).
- [23] U. Fano. Phys. Rev., 72, 26 (1947).
- [24] О. А. Матвеев, А. А. Томасов. Дефектоскопия, № 8, 36 (1986).

Редактор В. В. Чалдышев
